

随机数：

- 分为真随机、伪随机 ○ 好的随机性(独立性、均匀性)、速度快。
- Lehmer 线性同余法：

$$I_{n+1} = (aI_n + b) \bmod m ; \quad x_n = I_n/m$$

强烈依赖于 a, b, m 的选择

- 16807 产生器：32位机上很有效的产生器。

$$a = 7^5 = 16807 \quad b = 0 \quad m = 2^{31} - 1 = 2147483647$$

* Schrage 方法：

① 设 $m = aq + r$, $q = \lfloor m/a \rfloor$, $r = m \bmod a$

② $aI_n \bmod m = \left(\frac{1}{q}(aq+r) - \frac{rI_n}{q} \right) \bmod m$
 $= \left\{ \frac{1}{q}(aq+r) + \frac{I_n \bmod q}{q} (aq+r) - r \left[\frac{I_n}{q} \right] - r \frac{I_n \bmod q}{q} \right\} \bmod m$
 $= \left\{ a(I_n \bmod q) - r \left[\frac{I_n}{q} \right] \right\} \bmod m$

③ $a(I_n \bmod q)$ 和 $r[I_n/q]$ 均在 $[0, m-1]$ 之间，不会越界。

则 $I_{n+1} = \left\{ a(I_n \bmod q) - r \left[\frac{I_n}{q} \right] \right\} \bmod m$.

○ 伪随机数的检验。

① 独立性：自相关函数 $\langle \rangle C(l) = \frac{\langle x_i x_{i+l} \rangle - \langle x_i \rangle^2}{\langle x_i^2 \rangle - \langle x_i \rangle^2}$
 $\langle \rangle C(l) = \frac{1}{N} \sum_{i=1}^N x_i x_{i+l} - \langle x \rangle^2$, $|C(l)| \sim O(\frac{1}{\sqrt{N}})$

② 均匀性： χ^2 -检验： $\chi^2 = \sum \frac{(n_k - m_k)^2}{m_k}$: 自由度 $V = k-1$ 的 χ^2 分布。
 $\langle x \rangle \langle x^k \rangle$: $\langle x^k \rangle = \frac{1}{N} \sum x_i^k$, $\langle x^k \rangle \propto \frac{1}{k+1}$; $|\langle x^k \rangle - \frac{1}{k+1}| \sim O(\frac{1}{\sqrt{N}})$

* Fibonacci 递进产生器：

$$I_n = I_{n-p} \oplus I_{n-q} \bmod m \quad \text{其中 } \oplus \text{ 表示加、减、乘、异或。}$$

优势：周期很长

抽样:

* 平均: $\langle x \rangle$ 方差: $\text{Var}(x) = \langle (x-\bar{x})^2 \rangle = \langle x^2 \rangle - \langle x \rangle^2$

矩: $\langle x^k \rangle$ 标准差: $\sigma = \sqrt{\text{Var}(x)}$

① 直接抽样:

<1> 离散型: <2> 连续型: 累积分布函数

② 变换抽样: $\int_a^b f(x) dx = \int_A^B g(y) dy$ 多变量情况类似

例1: 指数分布: $p(x) = \lambda^{-1} e^{-x/\lambda} (x > 0)$

直接抽样: $f = \int_0^x p(t) dt = 1 - e^{-x/\lambda} \Rightarrow x = -\lambda \ln(1-s) \sim -\lambda \ln \beta$

例2: Gauss 分布: $p(x) = \frac{1}{\sqrt{2\pi}\sigma} e^{-(x-\mu)^2/2\sigma^2} \xrightarrow{x \sim \sigma x + \mu} p(x) = \frac{1}{\sqrt{2\pi}} e^{-x^2/2}$

$$x = \sqrt{-2 \ln u} \cos 2\pi v \quad u = \exp[-(x^2+y^2)/2] \quad \left| \frac{\partial(u,v)}{\partial(x,y)} \right| = \frac{1}{2\pi} e^{-(x^2+y^2)/2} = p(x) \cdot p(y)$$

$$y = \sqrt{-2 \ln u} \sin 2\pi v \quad v = (2\pi)^{-1} \arctan(\frac{y}{x})$$

* 二维 Gauss 分布: $f(x,y) = (2\pi\sigma_1\sigma_2\sqrt{1-\rho^2})^{-1} \exp\left[-\frac{1}{2(1-\rho^2)}\left(\frac{(x-\mu_1)^2}{\sigma_1^2} - \frac{2\rho(x-\mu_1)(y-\mu_2)}{\sigma_1\sigma_2} + \frac{(y-\mu_2)^2}{\sigma_2^2}\right)\right]$

$$\begin{aligned} * \quad u &= \frac{1}{\sqrt{1-\rho^2}} \left(\frac{x-\mu_1}{\sigma_1} \right) \quad v = \frac{1}{\sqrt{1-\rho^2}} \left(\frac{y-\mu_2}{\sigma_2} \right) \\ t_1 &= u - \rho v \quad t_2 = \sqrt{1-\rho^2} v \end{aligned} \quad \Rightarrow \quad \int_{-\infty}^{\infty} \int_{-\infty}^{\infty} f(x,y) dx dy = \int_{-\infty}^{\infty} \int_{-\infty}^{\infty} \frac{1}{2\pi\sqrt{1-\rho^2}} e^{-\frac{1}{2}(t_1^2+t_2^2)} dt_1 dt_2$$

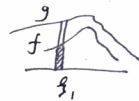
③ 舍选抽样:

<1> 多维分布的图形舍选:

<2> 舍选抽样: $f(x)$ 为待抽分布, $g(x)$ 为包络 ($g(x) > f(x)$)

① 抽一个满足 $\frac{g(x)}{\int g(x) dx}$ 分布的 x ,

② 舍选: 取一个均匀分布的 $t_2 \rightarrow t_2 > \frac{f(x)}{g(x)} \Rightarrow$ 重抽 x_1, x_2



* 面积比为抽样效率.

※ 拓展: 上述为: 先抽 y , 再用 f/g 舍选, 得到 $y \cdot \frac{f}{g} \sim f$.

则对于乘积分布 $h = g \cdot f$, 可以先抽 y , 再用 g/y 舍选, 得到 $y \cdot f \sim h$

MC计算定积分：

① 投石法： 

② 平均值法： $\int_a^b f(x) dx \approx (b-a) \langle f \rangle$

高维： $\int f dV \approx V \cdot \langle f \rangle$

大数定律： $\lim_{N \rightarrow \infty} \frac{\sum f_i}{N} = \mu$.

* 中心极限定理： $\frac{\langle f \rangle - \mu}{\sigma_f / \sqrt{N}} \rightarrow N(0, 1)$ 或 $\langle f \rangle - \mu \sim N(0, \frac{\sigma_f^2}{N})$

$\therefore f$ 的测量误差为 $\sigma_s = \frac{\sigma_f}{\sqrt{N}}$.

因此平均值法中 $\int f dV = V (\langle f \rangle \pm \frac{\sigma_f}{\sqrt{N}})$

③ 重要抽样法。

$$I = \int f(x) dx = \int \frac{f(x)}{g(x)} g(x) dx.$$

若 X 在 V 内的分布为 $g(x)$, 则 $P(x \sim x + dx) = g(x) dx$,

$$\text{则 } I = \sum \frac{f(x_i)}{g(x_i)} / N \cdot V,$$

布朗运动：

结论1：一维随机： $\langle x^2 \rangle = 2Dt$ ，n维随机 $\langle \vec{x}^2 \rangle = 2nDt$ 。 $(D = \frac{kT}{6\pi r_a}, a, r_a)$ 单位

结论2：概率密度 $P(x, t)$ 满足： $\frac{\partial P}{\partial t} = D \cdot \frac{\partial^2 P}{\partial x^2}$ (扩散方程/热传导方程)

$$\text{则 } P(x, t) = \frac{1}{\sqrt{4\pi Dt}} e^{-\frac{x^2}{4Dt}} = N(0, \sigma^2) \quad (\sigma = \sqrt{2Dt})$$

结论3：定义“涨落”： $SA(t) = A(t) - \langle A \rangle$

$$\text{方差 } \text{Var}(x) = \langle (x - \langle x \rangle)^2 \rangle = \langle x^2 \rangle - \langle x \rangle^2$$

$$\text{协方差 } \text{Cov}(x, y) = \langle (x - \langle x \rangle)(y - \langle y \rangle) \rangle = \langle xy \rangle - \langle x \rangle \langle y \rangle$$

$$\text{相关系数 } \text{Cor}(x, y) = \frac{\text{Cov}(x, y)}{\sqrt{\text{Var}(x) \text{Var}(y)}} \quad \langle A(t) \rangle = 0$$

$$\text{自相关函数 } C(t) = \text{Cov}(A(t), A(0)) = \langle SA(t) SA(0) \rangle \stackrel{!}{=} \langle A(t) A(0) \rangle - \langle A \rangle^2$$

$$\text{亦 } C(t) = C(-t); C(0) = \text{Var}(A)$$

$$\text{则, 对于 } \nabla \text{来说, } C(t) = \frac{1}{3} \langle \nabla(t) \nabla(0) \rangle = C(0) e^{-\frac{t^2}{2}} \quad (3\text{维})$$

计算过程：

6 Smoluchowski方法：一维运动中，向左/向右概率相同，向左 $\frac{1}{2}(n+m)$ 次，向右 $\frac{1}{2}(n-m)$ 次。

由二项式公式得 $P_n(m) = \dots \Rightarrow \langle m \rangle = 0, \langle m^2 \rangle = n$ 连续化 $\langle x \rangle = 0; \langle x^2 \rangle = \langle m^2 \rangle / \ell^2$

$$\text{实际上由 } n! \approx \sqrt{2\pi n} \left(\frac{n}{e}\right)^n \text{ 可得 } P_n(m) \approx \frac{1}{\sqrt{2\pi n}} e^{-\frac{m^2}{2n}} \quad = n \cdot \ell^2 = \ell^2 \cdot \frac{1}{e} = 2Dt.$$

由 $m = X/\ell, n = t/\tau$ 得 $P_n(m) = p(x, t) dx = p(x, t) \cdot \ell \cdot \Delta m = p(x, t) \cdot 2\ell$, 得 $p(x, t) = N(0, \sigma^2) \quad (\sigma = \sqrt{2Dt})$

2. Einstein的理论：

粒子在 τ 内在 x 方向移动 Δ 的概率密度为 $P(\Delta)$, 有 $P(\Delta) = P(-\Delta)$, $\int P(\Delta) d\Delta = 1$

设粒子数密度 $f(x, t)$, 则 $f(x, t + \tau) dx = dx \int_{-\infty}^{+\infty} f(x + \Delta, t) P(\Delta) d\Delta$

$$f + \tau \frac{\partial f}{\partial t} + \dots \quad f + \Delta \frac{\partial f}{\partial x} + \frac{1}{2} \Delta^2 \frac{\partial^2 f}{\partial x^2} + \dots$$

$$\Rightarrow \dots \Rightarrow \frac{\partial f}{\partial t} = \int_{-\infty}^{+\infty} \frac{\Delta^2}{2\tau} P(\Delta) d\Delta \frac{\partial^2 f}{\partial x^2} = D \cdot \frac{\partial^2 f}{\partial x^2} \quad (D = \int_{-\infty}^{+\infty} \frac{\Delta^2}{2\tau} P(\Delta) d\Delta)$$

3. 方差推导：

$$\mu = \langle x_i \rangle = 0 \quad \sigma^2 = \text{Var}(x_i) = \langle x_i^2 \rangle - \langle x_i \rangle^2 = \frac{1}{2} \ell^2 + \frac{1}{2} (-\ell)^2 = \ell^2$$

$$\text{走了 } N \text{ 步之后, } \text{Var}(\sum x_i) = N \cdot \ell^2.$$

4. 由递推函数推导:

$$P_{n+1}(m) \stackrel{!}{=} [P_n(m+1) + P_n(m-1)] \Rightarrow P(x, t+\tau) = \frac{1}{2} [P(x+\tau, t) + P(x-\tau, t)]$$

由 $\frac{1}{\tau} [P(x, t+\tau) - P(x, t)]$ 作 $\tau \rightarrow 0$, 可得 $\frac{\partial P}{\partial t} = D \frac{\partial^2 P}{\partial x^2}$.

$$5. \text{ Feynman: } \vec{r}_n = \vec{r}_{n-1} + \vec{L} \Rightarrow r_n^2 = r_{n-1}^2 + L^2 + 2 \vec{r}_{n-1} \cdot \vec{L} \Rightarrow \langle r_n^2 \rangle = \langle r_{n-1}^2 \rangle + L^2 = n L^2.$$

$$\therefore \langle r_n^2 \rangle = \frac{t}{\tau} \cdot (L_x^2 + L_y^2 + L_z^2) = 3t \cdot \frac{L^2}{\tau} = 6Dt$$

6. Langevin 理论 (Brownian 动力学)

① 粘滞阻力: $-\frac{\vec{v}}{B}$ (B 运移率).

② 快速涨落力: $F(t)$ (系统特征时间 τ > 碰撞时间)

$$\text{Langevin 方程: } m \frac{d\vec{v}}{dt} = -\frac{\vec{v}}{B} + F(t) \quad (\langle F \rangle = 0, \frac{1}{B} = 6\pi\eta a)$$

$$\text{解方程得: } \vec{v}(t) = \vec{v}(0) e^{-\frac{t}{B}} + e^{-\frac{t}{B}} \int_0^t e^{\frac{u}{B}} \cdot \frac{F(u)}{m} \cdot du$$

$$\Rightarrow \langle \vec{v}(t) \cdot \vec{v}(0) \rangle = \langle v^2(0) \rangle e^{-\frac{t}{B}}$$

$$\text{即 } C(t) = \frac{1}{3} \langle \vec{v}(t) \cdot \vec{v}(0) \rangle = C(0) e^{-\frac{t}{B}}.$$

* 第一涨落耗散定理: $D = \frac{1}{3} \int_0^\infty \langle \vec{v}(t) \cdot \vec{v}(0) \rangle dt = \int_0^\infty C(t) dt$

$$\text{推导: } \text{Var}(F(t)) = 6Dt \Rightarrow \frac{d}{dt} \text{Var} F(t) = 6D \quad (t \rightarrow \infty)$$

$$\text{左式} = 2 \cdot \text{Cov}\{F(t), \vec{v}(t)\} = 2 \langle \vec{F} \cdot \vec{v} \rangle - 2 \langle \vec{F} \rangle \langle \vec{v} \rangle$$

$$\text{由于 } \vec{F} = \int_0^t \vec{F}(t') dt', \text{ 所以左式} = 2 \cdot \int_0^t \langle \vec{v}(t') \cdot \vec{v}(t) \rangle dt' = 2 \cdot \int_0^t C(t-t') dt' \\ = 2 \cdot \int_0^t C(t) dt'$$

$$\Rightarrow D = \frac{1}{3} \int_0^\infty \langle \vec{v}(t) \cdot \vec{v}(0) \rangle dt = \int_0^\infty C(t) dt.$$

$$\text{又: } D = \int_0^\infty C(t) dt = \frac{1}{3} \int_0^\infty \langle v^2(0) \rangle e^{-t/B} dt = \frac{1}{3} \langle v^2 \rangle e^{-kT/B} = \frac{kT}{m} B = kTB$$

$$\Rightarrow D = kTB = \frac{kT}{6\pi\eta a} \quad (\text{Einstein 关系})$$

$$*\text{ 由 } m \frac{d\vec{v}}{dt} = -\frac{\vec{v}}{B} + \vec{F}(t) \text{ 及 } \vec{F} = \frac{d\vec{v}}{dt} \cdot (\vec{r} \cdot \vec{v}) - v^2, \text{ 以及 } \langle \vec{F} \cdot \vec{F} \rangle = 0 \\ \text{ 可得: } \langle r^2 \rangle = \frac{6kT}{m} B^2 \left\{ \frac{t}{\tau} - [1 - \exp(-t/\tau)] \right\} \quad \left(\frac{1}{2} m \langle v^2 \rangle = \frac{1}{2} kT, \quad \langle v^2 \rangle = \frac{3kT}{m} \right)$$

$$t \ll \tau \text{ 时, } \langle r^2 \rangle \sim t^2$$

$$t \gg \tau \text{ 时, } \langle r^2 \rangle \sim 6Dt \sim t.$$

随机运动及模拟人.

RW: 随机行走

SAW: 自规避: 与之前轨迹交叉即死亡.

GSAW: 生长自规避: 避免与之前轨迹交叉(但若走到死胡同, 则无路可走,必死)

* 标度指数的对数计算法:

(由朗之万理论, $\langle r^2 \rangle$ 并不严格等于 ∞N , 而是 $\langle r^2 \rangle = aN^{2\nu} (1 + bN^{-d} + \dots)$)

取对数, $\ln \langle r^2 \rangle \sim 2\nu \ln N$

$$\Rightarrow \nu(N) = \frac{1}{2} \frac{\ln \langle r^2(N+i) \rangle - \ln \langle r^2(N-i) \rangle}{\ln(N+i) - \ln(N-i)}$$

(对于 SAW, $\nu = 3/4$ ($d=2$) $\nu \approx 0.588$ ($d=3$) $\nu = 1/2$ ($d \geq 4$))

SAW 主要用于计算高分子的物理构型

生长模型(非平衡生长)

1. Eden 模型: 在生长点周围未占据的点中随机选一个占据.

(生长图案是紧密的, 多为圆形, 表面粗糙)

变种: 有竞争, 例如癌细胞的生长.

A 为生长点, 周围癌细胞带权重 λ , 正常细胞带权重 1.

先选择 A 周围的细胞 B 作为生长权利点.

再从 B 周围选一个细胞 C 作为 B 的同化对象.

2. 弹道聚集模型: 粒子从各处飞来粘在原有的集团上(直线飞行)

变种: 弹道沉积模型: 接触到原集团后, 不马上停止, 而是由热运动沉积在离集团更近的位置.

(用来模拟表面上原子沉积镀膜, 相比聚集模型, 形成的层更致密)

3. DLA (扩散受限聚集模型)

粒子从各处作无规运动撞在集团上(并不连)

特点: 集团的尖端生长很快, 粒子很难进入沟槽中.

4. Laplace 生长.

在区域 V 内有电荷分布, 满足 Poisson 方程: $\nabla^2 \phi(x,y) = q(x,y)$, 边界给定 $\phi|_{\partial V} = \Phi$
则可以利用随机游走求解任一点的电势 $\phi_0(x,y)$

① 网格化.

② 将 Poisson 方程离散化为离散形式: $\phi_{i,j} = (\phi_{i+1,j} + \phi_{i-1,j} + \phi_{i,j+1} + \phi_{i,j-1} - h^2 q_{i,j})/4$

③ 化为几率表达式: $\phi_0 = \frac{1}{4} \phi_1 + \frac{1}{4} \phi_2 + \frac{1}{4} \phi_3 + \frac{1}{4} \phi_4 - h^2 q_0/4$.

④ 从 (x,y) 处随机游走, 当从 $k \rightarrow k+1$ 步时, 有 $\phi_k = \phi_{k+1} - h^2 q_k/4$.

⑤ 则 $\phi_0 = \phi_0 - \frac{h^2}{4} \sum q_k$ (s 为最后游走到边界点.)

⑥ 多次取平均, 即为 $\phi_0(x,y)$ 的值.

粒子输运问题

以电子为例: ① 产生电子, 并运动 s , s 满足指数分布 $P(s) = \lambda^{-1} \exp(-s/\lambda)$

② 然后电子发生散射.

2.1 确定电作用对象 2.2 确定是否弹性还是非弹性散射.

③ 3.1 弹性: 则 $\Delta E = 0$, $\Delta \theta$ 由微分截面抽样.

3.2 非弹性: 则 ΔE 与 $\Delta \theta$ 均由相应的微分截面确定.

逾渗问题

点阵上的通道被随机地间断式打开(打开的概率为 p). 可能形成大的通路.

① 分类:
 座逾渗: 顶点,  (配位数: 4) . . .
 键逾渗: 边  (配位数: 6) . . .

* 配位数: 单个通道周围有多少个通道, 配位数越大, 逾渗阈值 p_c 越倾向于越小.

* 若一个座有 k 个近邻座, 则一条键必有 $2(k-1)$ 个近邻键.

* 逾渗阈值 p_c .

当 $p < p_c$ 时, 不出现无限连通.

当 $p \geq p_c$ 时, 迅速出现无限连通.

(3). 边缘维数.

当 $d \geq d^*$ 时, 各个临界指数是某个常数.

这一点进一步加强了逾渗与二级相变理论的相似性.

④ 计算机模拟:

以座逾渗为例: 描述方式: 二维数组

集团标识的算法:

(1) 先逐点扫描一次, 规则为: 下, 左均无占据格子, 则标识符加 1.

(2) 由于(1)中扫的结果有~~重叠~~错误, 所以要作一次修正, 方法为:

如果某格子下, 左格据且数字不同, 则此格子所属集团号

等于较小的数, 且全较大的数字构成集团与较小数字集团为同一集团.

⑤ 逾渗模型的应用:

局部的相变导致整体行为的变化 (参见“果树染病”的例子)

数值重整化

逾渗问题中, 各格点被占据的概率是 P , 则可以将格点进行粗粒化平均, 得到每个粗粒被占据的概率 P' . 此时, 粗粒化将多个格点变成一些尺寸较大的集合 (每个集合含有 b^d 个格点, 其中 b 为线度, d 为维数). 对这些较大的集合再不断地粗粒平均, 可以得到无限大格点的被占据概率.

* 上述过程中, 若初始 P 很小, 接近于 0, 则 P' 可能不断变小, 最终趋于 0.

若初始 P 很大, 接近于 1, 则 P' 可能不断变大, 最终趋于 1.

若 P 刚好为 P_c , 则 P' 基本也为 P_c , P' 不会随迭代变为 0 或 1.

* 用数学语言描述: 设 $P' = R(P)$, 则 $R(P)=P$ 的解对应于 P_c .

* 物理上, $P=P_c$ 是不稳定的, $P=0$ / $P=1$ 是稳定点.

② 物理描述：

(1) 平均集团大小分布: $n_s(p) = \frac{\text{大小为 } s \text{ 的集团数}}{\text{格点总数}}$

集团大小: $s = \text{一个集团中的格点个数}$

$$\text{平均集团大小: } S = \sum_s s \cdot n_s = \sum_s \frac{s \cdot s n_s}{\sum_{s_0} s_0 n_{s_0}}$$

(2) 集团的平均跨距长度: δ ; 有多种定义方式. 例如 $\delta = \langle \max \{|\vec{r}_i - \vec{r}_j| \} \rangle$
 δ 表示集团的尺度.

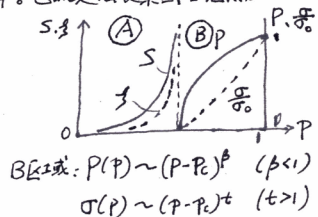
(3) 通透概率: P : $P = P_{100}(p)$ 当发生无限连通 ($p > p_c$) 时, 点阵中任一点
 属于无限集团的概率. 也就是无限集团占总点数的比例.

(4). 电导率: σ .

③ 相关规律:

(1) 临界行为:

$$\begin{aligned} A \text{ 区域: } S(p) &\sim (p - p_c)^{-\gamma} \\ \delta(p) &\sim (p - p_c)^{-\nu} \end{aligned}$$



ν, γ, β, t 称为临界指数值.

※ 体现了通透与二级相变的相似性.

(2) 有限尺度标度法:

MC模拟通透时, 不能取无限大点阵, 因此计算有误差.

我们认为主要原因是“边界效应”. MC点阵线度 $\sim L$.

若 $S \sim L$, 则无法得到正确的 S, P 变化.

解决方案: 认为 $\delta(p) \sim L \sim |p - p_c|^{-\nu} \Rightarrow |p - p_c| \sim L^{-\frac{1}{\nu}}$

则 $p \sim L^{-\frac{1}{\nu}} \beta$ 可得 β 及 ν , 再通过标度律解 ρ, Γ, ν .

$$S \sim L^{-\frac{1}{\nu}}$$

(标度律: $2\beta + \nu = d$, d : 空间维数)

* 标度变换求临界指数

设 p^* 为计算 $p=R(p)$ 得到的 p_c , p 为 p_c 附近的一点.

设 $p' = R(p)$ $p^{*\prime} = R(p^*) = p^*$.

则, 对于倍数为 b 的标度变换, 由于 $\beta \propto |p-p_c|^{-\nu}$

所以由 $\beta \sim \beta/b$ 得 $|p'-p^{*\prime}|^{-\nu} = b^{-1} |p-p^*|^{-\nu}$

而 $p' - p^{*\prime} = R(p) - R(p^*) \approx \lambda (p - p^*)$ 其中 $\lambda = R'(p)|_{p=p^*}$

所以 $\lambda^{-\nu} = b^{-1} \Rightarrow \nu = \frac{\ln b}{\ln \lambda} = \frac{\ln b}{\ln R'(p)|_{p=p^*}}$

混沌

1. 非线性方程求根:

① 迭代法: $X_{k+1} = f(X_k)$

② 多步迭代法: $X_{k+1} = f(x_n) = f(\alpha X_{n-1} + (1-\alpha)X_{n-2})$ (两步混合)

③ Newton 迭代: $X_{k+1} = X_k - \frac{f(X_k)}{f'(X_k)}$ (④ 强截法; 即将③中的 $f'(X_k)$ 换为差分)

2. 混沌.

① 迭代方程: 如 Logistic 方程: $X_{n+1} = \lambda X_n (1-X_n)$ ($0 \leq X \leq 1, 0 \leq \lambda \leq 4$)

用于模拟生物种群数量每年的值的变化.

$$\text{再如 } X_{n+1} = \lambda \sin(\pi X_n)$$

② 状态图.

迭代方程中 λ 是个关键参数.

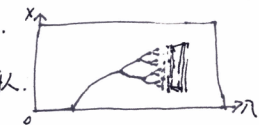
λ 取不同值时, 系统的行为不同.

系统的行可以是: "0" (迭代后稳定为 0), "定态" (迭代后稳定为某一个 X_c)

"倍周期分叉" (迭代后稳定为周期性的 \dots, X_k, \dots)

"混沌" (无规律).

将状态量 X 与 λ 的值画出来, 即为状态图.



* 相似性: 一些细小分支放大后与整个图形相似.

* 初值敏感性: 对于混沌态, X_k 与 X_0 十分相关.

③ Feigenbaum 常数 (δ 与 α)

设 $1 \rightarrow 2, 2 \rightarrow 4, 4 \rightarrow 8, \dots$ 的 λ 为 $\lambda_1, \lambda_2, \lambda_3, \dots$

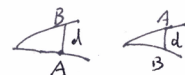
则 $\frac{\lambda_m - \lambda_{m-1}}{\lambda_{m+1} - \lambda_m}$ 随 m 增大而趋向一个常数, 定义为 δ .

设 $X=0.5$ 的线与状态图交点为 $A_1, A_2, \dots, A_K, \dots$

而 A_i 所在的二分叉中, 垂直对应的点为 B_i .

设 $d_i = A_i B_i$ 则 $d_m / d_{m+1} \rightarrow \alpha (m \rightarrow \infty)$

* α 与 δ 是不依赖于迭代函数的普适常数



④ Lyapunov 指数

当初值不同时， $x_0 \neq x'_0$ ，即 $dx_0 = |x_0 - x'_0| \neq 0$

迭代后的结果也不同， $x_1 \neq x'_1$, $x_2 \neq x'_2 \dots$ 即 $dx_1 \neq 0, dx_2 \neq 0, \dots$

为了定量描述这种快速发散的过程，设 $dx_n = dx_0 e^{n\lambda'}$.

$$\text{即 } \lambda' = \lim_{n \rightarrow \infty} \frac{\ln(dx_n/dx_0)}{n}$$

对于混沌态， $\lambda' > 0$ ，对于 $\lambda' < 0$ ，对应于不动点和周期分叉。

分形和分维

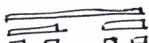
1. 维数的定义

① 欧几里德维数（经典维数）：“物理坐标数目”。

② 拓扑维数：经连续变换后，拓扑维数不变。

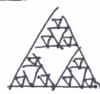
③ Hausdorff 维数： $D = \lim_{\varepsilon \rightarrow 0} \frac{\ln N(\varepsilon)}{\ln(\frac{1}{\varepsilon})}$

分形图形自相似性中，单元长度为 ε 时，整团所含单元数为 $N(\varepsilon)$

例如：  $\begin{array}{l} \varepsilon = 1 \\ \varepsilon = \sqrt{3} \\ \varepsilon = \sqrt[3]{9} \end{array}$ $\begin{array}{l} N = 1 \\ N = 2 \\ N = 4 \end{array}$ $\Rightarrow D = \frac{\ln 2^n}{\ln 3^n} = \frac{\ln 2}{\ln 3}$

注： ε 是长度！ 对于高维图形来说也是如此。

例：



$$\begin{array}{l} \varepsilon \\ 1 \\ \frac{1}{3} \end{array} \quad \begin{array}{l} N \\ 1 \\ 3 \\ 9 \end{array} \quad \Rightarrow D = \frac{\ln 3}{\ln 2}$$

* 规则分形的 Hausdorff 维数（分形维数）总大于拓扑维数

这是由于发生了分形，符合分形维数的定义。

* 可以用放大图形并自相似以得到分形图。

也可以用自相似的办法延伸、缩小得到分形图。

* 如果不完全自相似，称为不规则分形。

2. 不规则分形维数的测定

- A 不规则(粗糙)曲线 B. 小岛气泡 C. 树枝、分叉.

① 粗糙曲线的圆规维数 (A)

$$N \sim \varepsilon^{-D} \Rightarrow D = -\frac{\ln N}{\ln \varepsilon}$$



② 周长-面积关系求分维 (小岛法) (B)

规则图形: $\begin{cases} \text{正方形: } P=4a, A=a^2 \Rightarrow P \propto A^{\frac{1}{2}} \\ \text{圆: } P=2\pi a, A=\pi a^2 \end{cases}$

不规则图形: $[P(\varepsilon)]^{1/D} = a_0 \varepsilon^{(1-D)/D} [A(\varepsilon)]^{1/2} = a_0 \varepsilon^{1/D} \varepsilon^{-1} [A(\varepsilon)]^{1/2}$

$$\frac{\log [P(\varepsilon)/\varepsilon]}{D} = \log a_0 + \log \left[\frac{[A(\varepsilon)]^{1/2}}{\varepsilon} \right]$$

③ 表面积-体积关系 (B)

规则图形: $A^{1/2} \propto V^{1/3}$

不规则图形: $[A(\varepsilon)]^{1/D} = a_0 \varepsilon^{(2-D)/D} [V(\varepsilon)]^{1/3}$

$$\frac{\log [A(\varepsilon)/\varepsilon^2]}{D} = \log a_0 + \log [V(\varepsilon)^{1/3}/\varepsilon]$$

④ 盒计数法 (C)



$$\varepsilon = 1$$

$$N = ?$$



$$\varepsilon = \frac{1}{2}$$

$$N = ?$$



$$\varepsilon = \frac{1}{3}$$

$$N = ?$$

... 直到足够小的单元.

数出被占据格子数 N , 则 $N(\varepsilon) \sim \varepsilon^{-D}$.

⑤ Sandbox 法 (C)

从中心开始, 以不同边长 r 的正方形作为计数单元, 数出正方形中占据格点数 N .

作双对数图 $\ln N - \ln r$, 则斜率为 D .

⑥ 面积(N)回转半径(R_g)法.

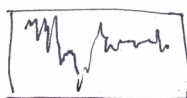
$$N \sim R_g^D \Rightarrow \ln N \sim D \ln R_g .$$

(1) 已知分布形中心或质心时, $R_g^2 = \frac{\sum r_i^2}{N}$ ($i = 1, 2, \dots, N$) .

(2) 无明确中心或质心时, $R_g^2 = \frac{\sum (r_i - \bar{r})^2}{2N(N-1)}$ ($i, j = 1, 2, \dots, N$)

(式中的 \bar{r} 是由于 r_j 被计算了2次)

⑦ 变换法: (A)



(1) 固定矩形宽度R,高度由最高、最低点决定.

(2) 每次移动一个像素,求总面积 $S = \sum_{i=0}^{N-R} S_i$;

(3) 改变R,求S,定义 $N = S/R^2$

$$\text{则 } N \sim R^{-D}, \text{ 即 } \ln N \sim \ln(1/R) \cdot D$$

此方法也可以计算粗糙曲面(只不过不是矩形而是长方体柱).

⑧ 密度-密度相关函数法:

将原图形进行平移,数出平移前后重叠区域的重叠点数,

并除以重叠区域的面积,即 $P = \frac{\sum p(x,y)p(x',y')}{\Delta x \cdot \Delta y}$

其中 $p(F)$ 为图形的密度函数,其值取 0 或 1; 当下为占据点,取 1.

P 是 $\Delta r = \sqrt{(\Delta x)^2 + (\Delta y)^2}$ 的函数.

$\ln P \sim \ln \Delta r$ 的双对数图中, 斜率为 $\alpha = d-1$ (d 为欧氏空间维数)

林氏系统和迭代函数系统

1. 林氏系统:

V: 初始结构

W: 公理 迭代中遵循的基本规则.

P: 生成规则(迭代规则)

} 组合之后, 用各种字符串来描述分形的图样生成.

* 符号规定: ① F: 向前走一步并画线

G: 向前走一步, 不画线.

② •(可省略): 角度不变

|: 转 180°.

+ : 逆时针转 Angle

- : 顺时针转 Angle

③ [: 储存当前状态点

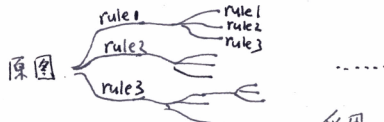
* 例码示意:

Koch 曲线: { Angle 60 ;
Axiom F ; // 初始图形
 $F = F+F--f+f;$



* L 系统特点: ① 简单, 易于实现 ② 适合模拟以生成元比较明确的图形.
③ 有效地模拟植物结构, 绘制优美的图.

2. 迭代函数系统(IFS)



为了便于程序实现, 给每一步 ^{采用} rule 1/2/3 设定了概率 p_i .
 p_i 的一种取法是: $p_i \propto$ 变换后图形的大小.

一、数学描述：

①仿射变换及其系数：

$$\begin{pmatrix} x' \\ y' \end{pmatrix} = R \begin{pmatrix} x \\ y \end{pmatrix} = \begin{pmatrix} a & b \\ c & d \end{pmatrix} \begin{pmatrix} x \\ y \end{pmatrix} + \begin{pmatrix} e \\ f \end{pmatrix} = A \begin{pmatrix} x \\ y \end{pmatrix} + B.$$

或者写为迭代形式： $\begin{cases} x' = ax + by + e \\ y' = cx + dy + f \end{cases}$

② A 的性质：

$$A = \begin{pmatrix} a & b \\ c & d \end{pmatrix} = \begin{pmatrix} \cos\theta & -\sin\theta \\ \sin\theta & \cos\theta \end{pmatrix} \begin{pmatrix} 1 & \tan\alpha \\ \tan\alpha & 1 \end{pmatrix} \begin{pmatrix} L & 0 \\ 0 & t_2 \end{pmatrix}$$

旋转 扭曲 伸缩

$$\det A = \frac{S(D')}{S(D)} = \boxed{\text{图形变换前后面积倍数}} \quad (\text{变换后 : 变换前})$$

元胞自动机

1. 一维元胞自动机 (Wolfram)

① 设演化规则的半径为 r , 则包括自身 $2r+1$ 个邻居。
每个位置有 K 种可能状态, 即 $2r+1$ 个邻居有 K^{2r+1} 种排列。

对于每种排列, 下一个时刻有 K 个不同取值, 即演化规则有 K^K^{2r+1} 种。

② 一维元胞自动机的编码: (以 $r=1, K=2$ 为例)

第一行: 写出所有可能状态: 111 110 101 100 011 010 001 000

第二行: 写出规则: 0 1 0 1 1 0 1 0

最后, 转换 K 进制至 10 进制: $(01011010)_2 = 90$.

③ 长期行为:

定性地分为四类:

<1> 全都是 0 或全都是 1 (均匀状态)

<2> 定态或周期性循环状态。

<3> 混沌状态。

<4> 更复杂的结构。

④ 边界条件: 有两个边界格点, 不参与演化规则, 则定义边界条件规则。

定值: 永远为初始。

镜面: 时刻等于相邻的
那个元胞。

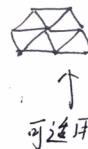
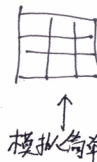
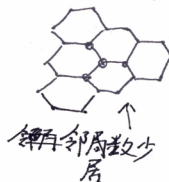
周期: 只

对二维元胞自动机对假定的机理进行模拟

分形对现象与结构进行模拟.

2. 二维元胞自动机:

① 常用网格: 六角网格, 四方网格, 三角网格



② 常用邻居层



Von Neumann型



Moore型



扩展的Moore型

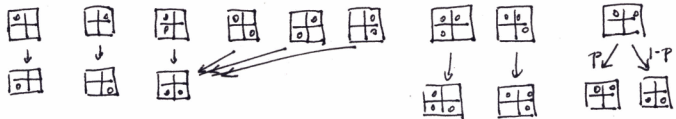
③ 应用:

- <1> 表决模型: “多数决定”规则, Moore型, 形成了一些相当“破碎的畴域”
- <2> 退火模型: “少数决定”规则, Moore型, 形成更大的畴域, 像退火过程
- <3> Ising 自旋动力学模型: Von Neumann型, 个粒子相同时自旋翻转(能量最低原则)
- <4> 格子气自动机: HPP模型, 可以用来研究粒子传播动力学.

演化规则: 单一粒子: 直线运动 → →
(完全可逆) 迎头碰撞: 沿垂直方向转向 → ↑
其它场合: 粒子各自直线运动, 互不影响.

FHP模型: 三角格点: 规则: 单一粒子: 直线
2粒子迎头碰撞: 偏转60° → ↗ 或 ↘
3粒子迎头碰撞, 各自反向.
其余: 互相穿透.

<5> 沙堆模型



可以模拟沙一样颗粒状的堆积和倒塌.

<6> 森林火灾模型

$k=3$: 2: 绿树 1: 正在燃烧 0: 空地.

规则: (1) $1 \rightarrow 0$

(2) $2 \rightarrow 1$, 若树周围有1.

(3) $0 \rightarrow 2$, 概率为 P . (P 与环境有关)

(4) $2 \rightarrow 1$, 概率为 f . (f 一般很小)

有限差分方法

1. 有限差分思想:

用差分代替微分, 进行迭代, 求解微分方程中的未知函数

两类问题:

① 初始值问题: 给定 $\phi(t_0), \phi'(t_0)$

② 边界值问题: 给定 $\phi(t_0), \phi(t_N)$

2. 差分化, 迭代方程.

$$\textcircled{1} \quad (a) -\text{阶}: \quad \phi'(x_n) \rightarrow (\phi_{n+1} - \phi_n)/h \\ \qquad \qquad \qquad \qquad \qquad \qquad \rightarrow (\phi_n - \phi_{n-1})/h \\ \qquad \qquad \qquad \qquad \qquad \qquad \rightarrow (\phi_{n+1} - \phi_{n-1})/2h$$

$$(b) \text{二阶}: \quad \phi''(x_n) = (\phi_{n+1} + \phi_{n-1} - 2\phi_n)/h^2$$

$$(c) \text{偏微分}: \quad \nabla^2 \phi = \frac{\partial^2 \phi}{\partial x^2} + \frac{\partial^2 \phi}{\partial y^2} \\ = \frac{\phi_{m+1,n} + \phi_{m-1,n} - 2\phi_{m,n}}{h^2} + \frac{\phi_{m,n+1} + \phi_{m,n-1} - 2\phi_{m,n}}{h^2}$$

② 迭代方程.

(1) 利用①的格式直接代换.

(2) 线性多步法: $y_{n+1} = y_{n-p} + \int_{x_{n-p}}^{x_{n+1}} y' dx = \dots$

(3) Runge-Kutta方法.

(4) Verlet方法: 适用于 $\phi'' = f(\phi(t), t)$.

推导: Taylor 展开: $\phi_{n+1} = \phi_n + h\phi'(t_n) + \frac{h^2}{2}\phi'' + \frac{h^3}{3!}\phi''' + \dots$

$$\phi_{n-1} = \phi_n - h\phi' + \frac{h^2}{2}\phi'' - \frac{h^3}{3!}\phi''' + \dots$$

$$\Rightarrow \phi_{n+1} + \phi_{n-1} = 2\phi_n + h^2\phi'' + O(h^4)$$

$$\phi_{n+1} = 2\phi_n - \phi_{n-1} + h^2 f_n(\phi_n, t_n) + O(h^4)$$

(5) Numerov 法: 适用于 $\phi'' = f(x) \cdot \phi(x)$

作变量代换: $y(x) = \left[1 - \frac{h^2 f(x)}{12} \right] \psi(x),$

$$\text{可得: } y_{n+1} = 2y_n - y_{n-1} + h^2 f_n y_n + O(h^6)$$

3. 边界值问题.

* 打靶法: 从一个边界开始, 不断改变参数, 直到刚好满足边界条件.

分子动力学方法

Born - Oppenheimer 近似：

由于 $M_n \gg m_e$, $v_n \ll v_e$, 所以电子的运动和原子的运动可以互相分离.

$$\Psi(\vec{R}, \vec{r}) = \psi(\vec{R}) \cdot \phi(\vec{r}; \vec{R})$$

分子力学：只考虑核的运动（牛顿定律近似），电子的能量由原子间(MD) 相互作用势能 $U(\vec{R})$ 描述.

$$\cancel{\nabla} \phi \left(\sum \frac{P_i^2}{2M_i} + U(\vec{R}) \right) \psi(\vec{R}) = E \psi(\vec{R})$$

局域电子密度泛函理论：只考虑电子的动力学问题
(DFT) $H \phi(\vec{r}, \vec{R}) = U(\vec{R}) \cdot \phi(\vec{r}, \vec{R})$

1. MD 简介：

研究对象：大量粒子(N)集合体系(固、液、气；原子、分子)

模拟方式：确定地计算体系演化，模拟拟相空间演化。

优点：不依赖格子模型；只能计算平衡态。

但收敛速度慢，计算量大。

粒子分类：硬球：只有碰撞时才改变速度。

软球：势能是连续函数。

2. 硬球模拟：

① 假设：(1) 弹性碰撞

(2) 碰撞时刻 t_c 对应于两距离等于直径： $|\vec{r}_i - \vec{r}_j|^2 = \sigma^2$

* 一维运动的模拟不能达到各态历经性，得到的平衡态性质不对。

② 二维或三维模拟的流程.

<1> 初始化:

① 计算相对长宽和 $L^* = L/\sigma = (\pi N/6\eta)^{\frac{1}{3}}$

相对密度 $\rho^* = N/V^* = \rho\sigma^3 = 6\eta/\pi$

(其中 $\eta = N V_{sphere}/V = \pi \rho \sigma^3 / 6 = \pi N (\sigma/L)^3 / 6$ 为堆积分数)
(σ 为粒子直径)

② 以 KT 作为能量单位, 将时间和速度约化:

$$E = \frac{3}{2} N k T \Rightarrow \begin{cases} V^* = \sqrt{m/kT} \\ t^* = \frac{t}{\sqrt{m/kT}} \end{cases}$$

③ 给定初始坐标:

通常不用随机数(太慢了), 而是按规则的晶格排布(如面心立方)

给定初始速度:

速度分布无所谓, 但需保证 $\bar{v} \sim$ 热动能量.

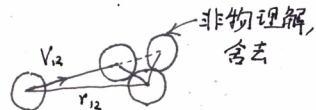
<2> MD 模拟迭代.

④ 构建 $\frac{N(N-1)}{2}$ 对球的碰撞时间表.

$$t_c - t_0 = \frac{-\vec{v}_{12} \cdot \vec{r}_{12} - \sqrt{(\vec{v}_{12} \cdot \vec{r}_{12})^2 - v_{12}^2(r_{12}^2 - \sigma^2)}}{v_{12}^2}$$

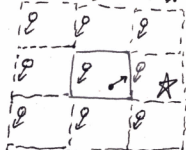
其中 $\vec{v}_{12} \cdot \vec{r}_{12} < 0$, $(\vec{v}_{12} \cdot \vec{r}_{12})^2 - v_{12}^2(r_{12}^2 - \sigma^2) \geq 0$.

注意:



* 注意：为了减少边缘效应，需要对模拟区域进行周期性扩展。

如：



打“*”号的是满足 $V_L \cdot V_R < 0$

且相对来说 $\tau_L - \tau_R$ 最小的。

- ① 在时间表中选择最小的，作为下一步迭代的时间间隔。
- ② 更新粒子坐标，若粒子飞出边界，则利用周期性边界条件。

计算碰撞粒子对的新速度矢量。

计算新的时间表。

* 平衡态的判断：

3. 软玉求模拟人

(1) 势能的种类：

(a) 两体势： Lennard-Jones : $u = 4\epsilon \left[\left(\frac{\sigma}{r_{ij}} \right)^{12} - \left(\frac{\sigma}{r_{ij}} \right)^6 \right]$

Kihara : $u = 4\epsilon \left[\left(\frac{\sigma-a}{r_{ij}-a} \right)^{12} - \left(\frac{\sigma-a}{r_{ij}-a} \right)^6 \right]$

Morse : $u = A \left[e^{-2b(r_j-a)} - 2e^{-b(r_j-a)} \right]$

[适用于惰性气体和简单金属]。

(b) 原子内能势：

$$U = \frac{1}{2} \sum_{j \neq i} \phi(r_{ij}) - \sum_{j \neq i} F(p_i)$$

↑ ↓ 带到电子气中原子势力 (吸引)

带电原子空间的相互作用 (排斥)

[适用于简单金属和过渡金属]

(c) 紧束缚势： [过渡金属、合金]

(d) Tersoff & Brenner 势 [半导体]

* 一般来说，势有吸引、排斥两次

* 为了节省计算资源，对势能作出截断。

(a). 只在 $r \leq r_c$ 内有 $U_c(r) = U(r)$: U, F 不连续。

(b) 只在 $r \leq r_c$ 内有 $U_c(r) = U(r) - u(r_c)$, U 连续, F 不连续。

(可以作势能尾部修正使 F 也连续)

(c) 只在 $r \leq r_c$ 内有 $U_c(r) = U(r) - u(r_c) - u'(r_c)(r-r_c)$: U, F 都连续。

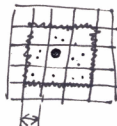
(2) 成解牛顿方程的技术:

① 列表技术:

(a) 元胞列表法:

(计算量 $\propto N$ 而不是 N^2).

只考虑某一范围内的粒子作用



r_c (r_c = 势能截断半径)

(b) ~~元胞列表法下的最小映像判据~~:

~~周期性边界条件下~~, 不仅真实粒子, 而且映像粒子也会施加作用力.

(c) Verlet 列表法:

不是每步都全部更新列表, 节省时间.

(d) Beckett 列表法:

~~周期性边界条件下的 Verlet 列表法~~.

② 计算位置和速度的技术:

(a) Verlet 法: [时间反演 ($t \rightarrow -t$), 不变]

$$x(t+\tau) = 2x(t) - x(t-\tau) + \tau^2 \frac{F(t)}{m}$$

$$v(t) = \frac{x(t+\tau) - x(t-\tau)}{2\tau}$$

(b) Verlet 法: [同时计算速度和位置]

速度 $x(t+\tau) = x(t) + \tau v(t) + \frac{\tau^2 F(t)}{2m}$ \curvearrowright 导

$$v(t+\tau) = v(t) + \frac{\tau [F(t+\tau) + F(t)]}{2m} \quad \curvearrowleft$$

(c) Beeman 法则:

$$x(t+\tau) = x(t) + \tau v(t) + \tau^2 \frac{4F(t) - F(t-\tau)}{6m}$$

$$v(t+\tau) = v(t) + \frac{\tau [2F(t+\tau) + 5F(t) - F(t-\tau)]}{6m}$$

* Beeman 法计算出的 X 与 Verlet 一样, V 更准确.

因此最终的总能量守恒较好.

但速度的表达式没有时间可逆对称性.

* 速度校正的 Verlet 算法:

$$V(t) = \frac{2}{3} [X(t+\tau) - X(t-\tau)] - \frac{1}{2\tau} [X(t+2\tau) - X(t-2\tau)]$$

(3) 模拟步骤:

① 初始化.

② 动力学模拟.

* 应用: 薄膜生长, 晶向断裂, 原子团簇的稳定性.

离子轰击表面形成坑, 水分子渗透.....

重要抽样法：

Metro polis 抽样：

对于概率密度起伏大，系统维数多的抽样问题，传统方法难以给出高精度、高速度的结果，因此用 Metro polis 方法：

Metro polis 方法的过程如下：

- (1) 在定义域内随意抽一个点 x_0 .
- (2) 以 x_0 为输入，通过抽样得 x_1 .
- (3) 如此往复，以 x_{t-1} 为参数，得 x_t .

其中第(2)步的抽样规则为：

- (2.1) 抽 ξ 满足均匀分布 $[x_0-d, x_0+d]$.
- (2.2) 若 $p(\xi) > p(x_0)$ 则 $x_1 = \xi$.
- (2.3) 若 $p(\xi) < p(x_0)$ 则再抽一个 η ($0-1$ 均匀分布).

然后，
$$x_1 = \begin{cases} \xi & \text{若 } \eta < \frac{p(\xi)}{p(x_0)} \\ x_0 & \text{若 } \eta \geq \frac{p(\xi)}{p(x_0)} \end{cases}$$

* 原理：

1. Markov 链： X_n 仅依赖于 X_{n-1} .

2. 转移矩阵 W 和细致平衡原理.

$$\frac{p(x)}{p(x')} = \frac{W(x' \rightarrow x)}{W(x \rightarrow x')}$$

平衡态时， $p = pW$ ，分布概率密度 p 越大，说明别处向这里的转移概率 (W) 越大，而这里向别处的转移概率 (W) 较小.

系统综述：

1. 正则系综 (N, V, T 固定)

Boltzmann 分布: $p(\alpha) \propto \exp(-\beta H)$

2. 微正则系综 (N, V, E 固定)

3. 巨正则系综 (μ, V, T 固定)

4. 等温等压系综 (N, P, T 固定)

Ising 模型 (铁磁性)

① 物理:

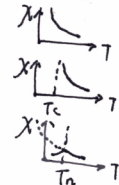
② 磁化强度 $M = \chi \vec{H}$ (χ : 磁化率)

③ 磁性分类: (1) 抗磁性: $\chi < 0$, 且 χ 很小, 基本为常数

(2) 顺磁性: $\chi > 0$, $\chi = \frac{C}{T}$, 较小.

(3) 铁磁性: $\chi = \frac{C}{T - \theta_c}$ ($T > \theta_c$)

(4) 反铁磁性: $\chi = \frac{C}{T + \theta_n}$ ($T > \theta_n$)



④ 自旋及能量计算

$$E = - \sum J_{ij} \vec{\sigma}_i \cdot \vec{\sigma}_j - \mu_B \vec{H} \cdot \sum \vec{\sigma}_i$$

交换积分常数

Bohr 磁子

度量了自旋-自旋
相互作用的强弱与

* 电子已被吸收进入 H 中.

* 统计力学分布:

$$P_\alpha \propto e^{-E_\alpha/k_B T}$$

$$P_\alpha = \frac{e^{-E_\alpha/k_B T}}{\sum_\alpha e^{-E_\alpha/k_B T}}$$

② 不同模型的假设：

<1> Ising 模型：

自旋只有上、下。

(a) 一维，只考虑邻近。 

(b) 二维，只考虑四周。 

<2> XY 模型 (平面转子模型)

自旋在平面上可任意旋转

$$E = -J \sum \vec{\sigma}_i \cdot \vec{\sigma}_j + E_B = -J \sum (\sigma_{ix} \sigma_{jx} + \sigma_{iy} \sigma_{jy}) + E_B$$

$$= -J \sum G_s(\phi_i - \phi_j) + E_B$$

其中 $\sigma_{ix} = G_s \phi_i$

$\sigma_{iy} = S_{is} \phi_i$

↑ 与磁场有关的，即 $\mu_0 \cdot H \cdot \sigma$

<3> Heisenberg 模型：

自旋可取 3 维空间任意方向。

<4> 9 状态 Potts 模型：[可以模拟以因素]

自旋有 1, 2, ..., 9, 共 9 个取值。

只有 $i=j$ 时，才对能量有贡献 $(E = -J \sum \delta_{ij} \sigma_i \sigma_j + E_B)$

<5> 时钟模型：

自旋可以取 2 维平面上 9 个角度。 $(E = -J \sum \vec{\sigma}_i \cdot \vec{\sigma}_j + E_B)$

<6> 自旋波德：

设 J_{ij} 不是定值，而是随机选取的，满足 Gauss 分布，或随机令 $J_{ij} = J$ 或 $-J$ 。

相关方法：

① 模拟退火法：

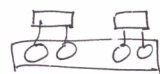
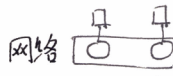
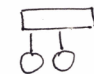
由于亚稳态的温度低，因此很难~~越过~~势垒走向另一个亚稳态。
因此设计了“交换温度”。

首先同时模拟多个系统，然后适时交换其温度，使亚稳态
跳出势垒，不断寻找最小值。

② 临界慢化：

③ Swendsen-Wang 加速抽样法。

并行计算



1. MPI：消息传递函数库（接口标准）

6个基本函数： MPI - INIT

启动环境

MPI - COMM_SIZE

确定进程数

MPI - COMM_RANK

确定自己的进程标识符

MPI - SEND

发送一条消息

MPI - RECV

接收一条消息

MPI - FINALIZE

结束环境

头文件： C: #include "mpi.h"

F77: include 'mpif.h'

F90及之后： use mpi 或 include 'mpif.h'